

ОПТИМАЛЬНОЕ  
УПРАВЛЕНИЕ

УДК 517.95

АНАЛИЗ ОПТИМИЗАЦИОННОГО МЕТОДА РЕШЕНИЯ ЗАДАЧИ  
СЛОЖНОГО ТЕПЛООБМЕНА С ГРАНИЧНЫМИ  
УСЛОВИЯМИ ТИПА КОШИ<sup>1)</sup>© 2022 г. П. Р. Месенев<sup>2</sup>, А. Ю. Чеботарев<sup>1,2,\*</sup><sup>1</sup> 690041 Владивосток, ул. Радио, 7, ИПМ ДВО РАН, Россия<sup>2</sup> 690922 Владивосток, о. Русский, п. Аякс, 10, ДВФУ, Региональный научно-образовательный математический центр Дальневосточный центр математических исследований, Россия

\*e-mail: cheb@iam.dvo.ru

Поступила в редакцию 07.03.2021 г.  
Переработанный вариант 17.09.2021 г.  
Принята к публикации 17.09.2021 г.

Предложен оптимизационный метод решения краевой задачи с условиями типа Коши для уравнений радиационно-кондуктивного теплообмена в рамках  $P_1$ -приближения уравнения переноса излучения. Выполнен теоретический анализ соответствующей задачи граничного оптимального управления. Показано, что последовательность решений экстремальных задач сходится к решению краевой задачи с условиями типа Коши для температуры. Результаты теоретического анализа проиллюстрированы численными примерами. Библ. 33. Фиг. 2.

**Ключевые слова:** уравнения радиационно-кондуктивного теплообмена, диффузионное приближение, задача оптимального управления, условия типа Коши.

DOI: 10.31857/S0044466922010094

## 1. ВВЕДЕНИЕ

Стационарный радиационный и диффузионный теплообмен в ограниченной области  $\Omega \subset \mathbb{R}^3$  с границей  $\Gamma = \partial\Omega$  моделируется в рамках  $P_1$ -приближения для уравнения переноса излучения следующей системой эллиптических уравнений [1]–[3]

$$-a\Delta\theta + b\kappa_a(|\theta|^3 - \varphi) = 0, \quad -\alpha\Delta\varphi + \kappa_a(\varphi - |\theta|^3) = 0, \quad x \in \Omega. \quad (1)$$

Здесь  $\theta$  – нормализованная температура,  $\varphi$  – нормализованная интенсивность излучения, усредненная по всем направлениям. Положительные физические параметры  $a$ ,  $b$ ,  $\kappa_a$  и  $\alpha$ , описывающие свойства среды, определяются стандартным образом [3]. Подробный теоретический и численный анализ различных постановок краевых и обратных задач, а также задач управления для уравнений радиационного теплообмена в рамках  $P_1$ -приближения для уравнения переноса излучения представлен в [1]–[21]. Отметим также серьезный анализ интересных краевых задач, связанных с радиационным теплообменом, представленный в [22]–[27].

Будем предполагать, что на границе  $\Gamma = \partial\Omega$  известно температурное поле,

$$\theta = \theta_b. \quad (2)$$

Для задания краевого условия для интенсивности излучения требуется знать функцию, описывающую отражающие свойства границы [4]. В том случае, если указанная функция неизвестна, естественно вместо краевого условия для интенсивности излучения задавать тепловые потоки на границе

$$\partial_n \theta = q_b. \quad (3)$$

Здесь через  $\partial_n$  обозначаем производную в направлении внешней нормали  $\mathbf{n}$ .

<sup>1)</sup>Работа выполнена при финансовой поддержке РФФИ (код проекта 20-01-00113) и ИПМ ДВО РАН (номер темы: 075-01095-20-00).

Нелокальная разрешимость нестационарной и стационарной краевых задач для уравнений сложного теплообмена без краевых условий на интенсивность излучения и с условиями (2), (3) для температуры доказана в [20], [21].

Данная статья посвящена анализу предлагаемого оптимизационного метода решения краевой задачи (1)–(3) с условиями типа Коши для температуры. Указанный метод заключается в рассмотрении задачи граничного оптимального управления для системы (1) с “искусственными” краевыми условиями

$$a(\partial_n \theta + \theta) = r, \quad \alpha(\partial_n \varphi + \varphi) = u \quad \text{на } \Gamma. \tag{4}$$

Функция  $r(x)$ ,  $x \in \Gamma$ , является заданной, а неизвестная функция  $u(x)$ ,  $x \in \Gamma$ , играет роль управления. Экстремальная задача заключается в отыскании тройки  $\{\theta_\lambda, \varphi_\lambda, u_\lambda\}$  такой, что

$$J_\lambda(\theta, u) = \frac{1}{2} \int_\Gamma (\theta - \theta_b)^2 d\Gamma + \frac{\lambda}{2} \int_\Gamma u^2 d\Gamma \rightarrow \inf \tag{5}$$

на решениях краевой задачи (1), (4). Функция  $\theta_b(x)$ ,  $x \in \Gamma$ , и параметр регуляризации  $\lambda > 0$  заданы.

Как будет показано ниже, задача оптимального управления (1), (4), (5), если  $r := a(\theta_b + q_b)$ , где  $q_b$  – заданная на  $\Gamma$  функция, является при малых  $\lambda$  аппроксимацией краевой задачи (1)–(3).

Статья организована следующим образом. В разд. 2 вводятся необходимые пространства и операторы, приводится формализация задачи оптимального управления. Априорные оценки решения задачи (1), (4), на основе которых доказана разрешимость указанной краевой задачи и задачи оптимального управления (1), (4), (5), получены в разд. 3. В разд. 4 выводится система оптимальности. В разд. 5 показано, что последовательность  $\{\theta_\lambda, \varphi_\lambda\}$ , соответствующая решениям экстремальной задачи, сходится при  $\lambda \rightarrow +0$  к решению краевой задачи (1)–(3) с условиями типа Коши для температуры. Наконец, в разд. 6 представлен алгоритм решения задачи управления, работа которого проиллюстрирована численными примерами.

## 2. ФОРМАЛИЗАЦИЯ ЗАДАЧИ УПРАВЛЕНИЯ

В дальнейшем считаем, что  $\Omega \subset \mathbb{R}^3$  – ограниченная строго липшицева область, граница  $\Gamma$  которой состоит из конечного числа гладких кусков. Через  $L^p$ ,  $1 \leq p \leq \infty$ , обозначаем пространство Лебега, а через  $H^s$  – пространство Соболева  $W_2^s$ . Пусть  $H = L^2(\Omega)$ ,  $V = H^1(\Omega)$ , через  $V'$  обозначаем пространство, сопряженное с пространством  $V$ . Пространство  $H$  отождествляем с пространством  $H'$  так, что  $V \subset H = H' \subset V'$ . Обозначим через  $\|\cdot\|$  стандартную норму в  $H$ , а через  $(f, v)$  – значение функционала  $f \in V'$  на элементе  $v \in V$ , совпадающее со скалярным произведением в  $H$ , если  $f \in H$ . Через  $U$  обозначаем пространство  $L^2(\Gamma)$  с нормой  $\|u\|_\Gamma = \left(\int_\Gamma u^2 d\Gamma\right)^{1/2}$ .

Будем предполагать, что

- (i)  $a, b, \alpha, \kappa_a, \lambda = \text{Const} > 0$ ,
- (ii)  $\theta_b, q_b \in U$ ,  $r = a(\theta_b + q_b)$ .

Определим операторы  $A : V \rightarrow V'$ ,  $B : U \rightarrow V'$ , используя следующие равенства, справедливые для любых  $y, z \in V$ ,  $w \in U$ :

$$(Ay, z) = (\nabla y, \nabla z) + \int_\Gamma yz d\Gamma, \quad (Bw, z) = \int_\Gamma wz d\Gamma.$$

Билинейная форма  $(Ay, z)$  определяет скалярное произведение в пространстве  $V$ , а соответствующая норма  $\|z\|_V = \sqrt{(Az, z)}$  эквивалентна стандартной норме  $V$ . Поэтому определен непрерывный обратный оператор  $A^{-1} : V' \mapsto V$ . Отметим, что для любых  $v \in V$ ,  $w \in U$ ,  $g \in V'$  справедливы неравенства

$$\|v\|^2 \leq C_0 \|v\|_V^2, \quad \|v\|_V \leq C_0 \|v\|, \quad \|Bw\|_V \leq \|w\|_\Gamma, \quad \|A^{-1}g\|_V \leq \|g\|_{V'}. \tag{6}$$

Здесь постоянная  $C_0 > 0$  зависит только от области  $\Omega$ .

Далее используем следующее обозначение  $[h]^s := |h|^s \operatorname{sign} h$ ,  $s > 0$ ,  $h \in \mathbb{R}$ , для монотонной степенной функции.

**Определение.** Пара  $\theta, \varphi \in V$  называется *слабым решением* задачи (1), (4), если

$$aA\theta + b\kappa_a([\theta]^4 - \varphi) = Br, \quad \alpha A\varphi + \kappa_a(\varphi - [\theta]^4) = Bu. \quad (7)$$

Для формулировки задачи оптимального управления определим оператор ограничений  $F(\theta, \varphi, u) : V \times V \times U \rightarrow V' \times V'$ ,

$$F(\theta, \varphi, u) = \{aA\theta + b\kappa_a([\theta]^4 - \varphi) - Br, \alpha A\varphi + \kappa_a(\varphi - [\theta]^4) - Bu\}.$$

**Задача (CP).** Найти тройку  $\{\theta, \varphi, u\} \in V \times V \times U$  такую, что

$$J_\lambda(\theta, u) \equiv \frac{1}{2} \|\theta - \theta_b\|_\Gamma^2 + \frac{\lambda}{2} \|u\|_\Gamma^2 \rightarrow \inf, \quad F(\theta, \varphi, u) = 0. \quad (8)$$

### 3. РАЗРЕШИМОСТЬ ЗАДАЧИ (CP)

Докажем предварительно однозначную разрешимость краевой задачи (1), (4).

**Лемма 1.** Пусть выполняются условия (i), (ii),  $u \in U$ . Тогда существует единственное слабое решение задачи (1), (4) и при этом

$$\begin{aligned} a\|\theta\|_V &\leq \|r\|_\Gamma + \frac{C_0\kappa_a}{\alpha} \|r + bu\|_\Gamma, \\ \alpha b\|\varphi\|_V &\leq \|r\|_\Gamma + \left(\frac{C_0\kappa_a}{\alpha} + 1\right) \|r + bu\|_\Gamma. \end{aligned} \quad (9)$$

**Доказательство.** Если второе уравнение в (7) умножить на  $b$  и сложить с первым, то получим равенства

$$A(a\theta + \alpha b\varphi) = B(r + bu), \quad a\theta + \alpha b\varphi = A^{-1}B(r + bu), \quad \varphi = \frac{1}{\alpha b}(A^{-1}B(r + bu) - a\theta).$$

Поэтому  $\theta \in V$  является решением следующего уравнения:

$$aA\theta + \frac{\kappa_a}{\alpha} \theta + b\kappa_a[\theta]^4 = g. \quad (10)$$

Здесь

$$g = Br + \frac{\kappa_a}{\alpha} A^{-1}B(r + bu) \in V'.$$

Однозначная разрешимость уравнения (10) с монотонной нелинейностью хорошо известна (см., например, [28]). Следовательно, задача (7) однозначно разрешима.

Для получения оценок (9) умножим скалярно (10) на  $\theta \in V$  и отбросим неотрицательные слагаемые в левой части. Тогда

$$a\|\theta\|_V^2 \leq (g, \theta) \leq \|g\|_{V'} \|\theta\|_V, \quad a\|\theta\|_V \leq \|g\|_{V'}.$$

Неравенства (6) позволяют оценить  $\|g\|_{V'}$  и  $\|\varphi\|_V$ :

$$\|g\|_{V'} \leq \|r\|_\Gamma + \frac{C_0\kappa_a}{\alpha} \|r + bu\|_\Gamma, \quad \|\varphi\|_V \leq \frac{1}{\alpha b} \|r + bu\|_\Gamma + \frac{a}{\alpha b} \|\theta\|_V.$$

В результате получаем оценки (9).

Полученные оценки решения управляемой системы позволяют доказать разрешимость задачи оптимального управления.

**Теорема 1.** Пусть выполняются условия (i), (ii). Тогда существует решение задачи (CP).

**Доказательство.** Пусть  $j_\lambda = \inf J_\lambda$  на множестве  $u \in U$ ,  $F(\theta, \varphi, u) = 0$ . Выберем минимизирующую последовательность  $u_m \in U$ ,  $\theta_m \in V$ ,  $\varphi_m \in V$ ,

$$J_\lambda(\theta_m, u_m) \rightarrow j_\lambda, \tag{11}$$

$$aA\theta_m + b\kappa_a([\theta_m]^4 - \varphi_m) = Br, \quad \alpha A\varphi_m + \kappa_a(\varphi_m - [\theta_m]^4) = Bu_m.$$

Из ограниченности последовательности  $u_m$  в пространстве  $U$  следуют, на основании леммы 1, оценки

$$\|\theta_m\|_V \leq C, \quad \|\varphi_m\|_V \leq C, \quad \|\theta_m\|_{L^6(\Omega)} \leq C.$$

Здесь через  $C > 0$  обозначена наибольшая из постоянных, ограничивающих соответствующие нормы и не зависящих от  $m$ . Переходя при необходимости к подпоследовательностям, заключаем, что существует тройка  $\{\hat{u}, \hat{\theta}, \hat{\varphi}\} \in U \times V \times V$ ,

$$u_m \rightarrow \hat{u} \text{ слабо в } U, \quad \theta_m, \varphi_m \rightarrow \hat{\theta}, \hat{\varphi} \text{ слабо в } V, \quad \text{сильно в } L^4(\Omega). \tag{12}$$

Заметим также, что  $\forall v \in V$  имеем

$$|([\theta_m]^4 - [\hat{\theta}]^4, v)| \leq 2\|\theta_m - \hat{\theta}\|_{L^4(\Omega)} \|v\|_{L^4(\Omega)} \left( \|\theta_m\|_{L_6(\Omega)}^3 + \|\hat{\theta}\|_{L_6(\Omega)}^3 \right). \tag{13}$$

Результаты о сходимости (12), (13) позволяют перейти к пределу в (11). Поэтому

$$aA\hat{\theta} + b\kappa_a([\hat{\theta}]^4 - \hat{\varphi}) = Br, \quad \alpha A\hat{\varphi} + \kappa_a(\hat{\varphi} - [\hat{\theta}]^4) = B\hat{u},$$

и при этом  $j_\lambda \leq J_\lambda(\hat{\theta}, \hat{u}) \leq J_\lambda(\theta_m, u_m) = j_\lambda$ . Следовательно, тройка  $\{\hat{\theta}, \hat{\varphi}, \hat{u}\}$  есть решение задачи (CP).

#### 4. УСЛОВИЯ ОПТИМАЛЬНОСТИ

Для получения системы оптимальности достаточно использовать принцип Лагранжа для гладко-выпуклых экстремальных задач [29], [30]. Проверим справедливость ключевого условия, что образ производной оператора ограничений  $F(y, u)$ , где  $y = \{\theta, \varphi\} \in V \times V$ , совпадает с пространством  $V' \times V'$ . Именно это условие гарантирует невырожденность условий оптимальности. Напомним, что

$$F(y, u) = \{aA\theta + b\kappa_a([\theta]^4 - \varphi) - Br, \alpha A\varphi + \kappa_a(\varphi - [\theta]^4) - Bu\}.$$

**Лемма 2.** Пусть выполняются условия (i), (ii). Для любой пары  $\hat{y} \in V \times V$ ,  $\hat{u} \in U$  справедливо равенство

$$\text{Im } F'_y(y, u) = V' \times V'.$$

**Доказательство.** Достаточно проверить, что задача

$$aA\xi + b\kappa_a(4|\hat{\theta}|^3\xi - \eta) = f_1, \quad \alpha A\eta + \kappa_a(\eta - 4|\hat{\theta}|^3\xi) = f_2$$

разрешима для всех  $f_{1,2} \in V'$ . Данная задача равносильна системе

$$aA\xi + \kappa_a\left(4b|\hat{\theta}|^3 + \frac{a}{\alpha}\right)\xi = f_1 + \frac{\kappa_a}{\alpha} f_3, \quad \eta = \frac{1}{\alpha b}(f_3 - a\xi).$$

Здесь  $f_3 = A^{-1}(f_1 + bf_2) \in V$ . Разрешимость первого уравнения указанной системы очевидным образом следует из леммы Лакса–Мильграма.

В соответствии с леммой 2 лагранжиан задачи (CP) имеет вид

$$L(\theta, \varphi, u, p_1, p_2) = J_\lambda(\theta, u) + (aA\theta + b\kappa_a([\theta]^4 - \varphi) - Br, p_1) + (\alpha A\varphi + \kappa_a(\varphi - [\theta]^4) - Bu, p_2).$$

Здесь  $p = \{p_1, p_2\} \in V \times V$  – сопряженное состояние. Если  $\{\hat{\theta}, \hat{\varphi}, \hat{u}\}$  – решение задачи (CP), то в силу принципа Лагранжа [29, теорема 1.5] справедливы вариационные равенства  $\forall v \in V$ ,  $w \in U$  имеем

$$(\hat{\theta} - \theta_b, v)_\Gamma + (aAv + 4b\kappa_a|\hat{\theta}|^3v, p_1) - \kappa_a(4|\hat{\theta}|^3v, p_2) = 0, \quad b\kappa_a(v, p_1) + (\alpha Av + \kappa_a v, p_2) = 0, \tag{14}$$

$$\lambda(\hat{u}, w)_\Gamma - (Bw, p_2) = 0. \tag{15}$$

Таким образом, из условий (14), (15) получаем следующий результат, который вместе с уравнениями (7) для оптимальной тройки определяет систему оптимальности задачи (СР).

**Теорема 2.** Пусть выполняются условия (i), (ii). Если  $\{\hat{\theta}, \hat{\varphi}, \hat{u}\}$  – решение задачи (СР), то существует единственная пара  $\{p_1, p_2\} \in V \times V$  такая, что

$$aAp_1 + 4|\hat{\theta}|^3 \kappa_a(bp_1 - p_2) = B(\theta_b - \hat{\theta}), \quad \alpha Ap_2 + \kappa_a(p_2 - bp_1) = 0 \quad (16)$$

и при этом  $\lambda \hat{u} = p_2$ .

## 5. АППРОКСИМАЦИЯ ЗАДАЧИ С УСЛОВИЯМИ ТИПА КОШИ

Рассмотрим краевую задачу (1)–(3) для уравнений сложного теплообмена, в которой нет краевых условий на интенсивность излучения. Существование  $\theta, \varphi \in H^2(\Omega)$ , удовлетворяющих (1)–(3), для достаточно гладких  $\theta_b, q_b$  и достаточные условия единственности решения установлены в [21]. Покажем, что решения задачи (СР) при  $\lambda \rightarrow +0$  аппроксимируют решение задачи (1)–(3).

**Теорема 3.** Пусть выполняются условия (i), (ii) и существует решение задачи (1)–(3). Если  $\{\theta_\lambda, \varphi_\lambda, u_\lambda\}$  – решение задачи (СР) для  $\lambda > 0$ , то существует последовательность  $\lambda \rightarrow +0$  такая, что

$$\theta_\lambda \rightarrow \theta_*, \quad \varphi_\lambda \rightarrow \varphi_* \quad \text{слабо в } V, \quad \text{сильно в } H,$$

где  $\theta_*, \varphi_*$  – решение задачи (1)–(3).

**Доказательство.** Пусть  $\theta, \varphi \in H^2(\Omega)$  – решение задачи (1)–(3),  $u = \alpha(\partial_n \varphi + \varphi) \in U$ . Тогда

$$aA\theta + b\kappa_a([\theta]^4 - \varphi) = Br, \quad \alpha A\varphi + \kappa_a(\varphi - [\theta]^4) = Bu,$$

где  $r := a(\theta_b + q_b)$ . Поэтому, с учетом того, что  $\theta|_\Gamma = \theta_b$ , получим

$$J_\lambda(\theta_\lambda, u_\lambda) = \frac{1}{2} \|\theta_\lambda - \theta_b\|_\Gamma^2 + \frac{\lambda}{2} \|u_\lambda\|_\Gamma^2 \leq J_\lambda(\theta, u) = \frac{\lambda}{2} \|u\|_\Gamma^2.$$

Следовательно,

$$\|u_\lambda\|_\Gamma^2 \leq C, \quad \|\theta_\lambda - \theta_b\|_\Gamma^2 \rightarrow 0, \quad \lambda \rightarrow +0.$$

Здесь и далее  $C > 0$  не зависит от  $\lambda$ . Из ограниченности последовательности  $u_\lambda$  в пространстве  $U$  следуют, на основании леммы 1, оценки

$$\|\theta_\lambda\|_V \leq C, \quad \|\varphi_\lambda\|_\lambda \leq C.$$

Поэтому можно выбрать последовательность  $\lambda \rightarrow +0$  такую, что

$$u_\lambda \rightarrow u_* \quad \text{слабо в } U, \quad \theta_\lambda, \varphi_\lambda \rightarrow \theta_*, \varphi_* \quad \text{слабо в } V, \quad \text{сильно в } L^4(\Omega). \quad (17)$$

Результаты (17) позволяют перейти к пределу при  $\lambda \rightarrow +0$  в уравнениях для  $\theta_\lambda, \varphi_\lambda, u_\lambda$  и тогда

$$aA\theta_* + b\kappa_a([\theta_*]^4 - \varphi_*) = Br, \quad \alpha A\varphi_* + \kappa_a(\varphi_* - [\theta_*]^4) = Bu_*. \quad (18)$$

При этом  $\theta_*|_\Gamma = \theta_b$ . Из первого уравнения в (18), с учетом, что  $r = a(\theta_b + q_b)$ , выводим

$$-a\Delta\theta_* + b\kappa_a([\theta_*]^4 - \varphi_*) = 0 \quad \text{п.в. в } \Omega, \quad \theta_* = \theta_b, \quad \partial_n \theta_* = q_b \quad \text{п.в. на } \Gamma.$$

Из второго уравнения в (18) следует, что  $-\alpha\Delta\varphi + \kappa_a(\varphi - [\theta]^4) = 0$  почти всюду в  $\Omega$ . Таким образом, пара  $\theta_*, \varphi_*$  – решение задачи (1)–(3).

**Замечание.** Из ограниченности последовательности  $u_\lambda$  в пространстве  $U$  следуют ее слабая относительная компактность и существование последовательности (возможно неединственной)  $\lambda \rightarrow +0$  такой, что  $u_\lambda \rightarrow u_*$  слабо в  $U$ . Для практического решения задачи (1)–(3) важно то, что для любой последовательности  $\lambda \rightarrow +0$  справедлива оценка  $\|\theta_\lambda - \theta_b\|_\Gamma^2 \leq C\lambda$ , а поскольку  $\partial_n \theta_\lambda = \theta_b + q_b - \theta_\lambda$ , то также  $\|\partial_n \theta_\lambda - q_b\|_\Gamma^2 \leq C\lambda$ . Указанные неравенства гарантируют, что граничные значения  $\theta_\lambda, \partial_n \theta_\lambda$  при малых  $\lambda$  аппроксимируют краевые условия задачи (1)–(3).

### 6. ЧИСЛЕННОЕ МОДЕЛИРОВАНИЕ

Представим итерационный алгоритм решения задачи оптимального управления. Пусть  $\tilde{J}_\lambda(u) = J_\lambda(\theta(u), u)$ , где  $\theta(u)$  компонента решения задачи (1), (3), соответствующая управлению  $u \in U$ .

В соответствии с (16) градиент функционала  $\tilde{J}_\lambda(u)$  равен

$$\tilde{J}'_\lambda(u) = \lambda u - p_2.$$

Здесь  $p_2$  – соответствующая компонента сопряженного состояния из системы (16), где  $\hat{\theta} := \theta(u)$ .

#### Алгоритм градиентного спуска

- 1: Выбираем значение градиентного шага  $\varepsilon$ ,
- 2: Выбираем количество итераций  $N$ ,
- 3: Выбираем начальное приближение для управления  $u_0 \in U$ ,
- 4: **for**  $k \leftarrow 0, 1, 2, \dots, N$  **do**
- 5:     Для данного  $u_k$  рассчитываем состояние  $y_k = \{\theta_k, \varphi_k\}$  – решение задачи (1), (2).
- 6:     Рассчитываем значение целевого функционала  $J_\lambda(\theta_k, u_k)$ .
- 7:     Рассчитываем сопряженное состояние  $p_k = \{p_{1k}, p_{2k}\}$  из уравнений (14), где  $\hat{\theta} := \theta_k, \hat{u} = u_k$ .
- 8:     Пересчитываем управление  $u_{k+1} = u_k - \varepsilon(\lambda u_k - p_2)$ .

Значение параметра  $\varepsilon$  выбирается эмпирически таким образом, чтобы значение  $\varepsilon(\lambda u_k - p_2)$  являлось существенной поправкой для  $u_{k+1}$ . Количество итераций  $N$  выбирается достаточным для выполнения условия  $J_\lambda(\theta_k, u_k) - J_\lambda(\theta_{k+1}, u_{k+1}) < \delta$ , где  $\delta > 0$  определяет точность расчетов.

Примеры, рассмотренные ниже, иллюстрируют работоспособность предложенного алгоритма при малых, что важно, значениях параметра регуляризации  $\lambda \leq 10^{-12}$ . В первом примере выполнены тестовые расчеты для куба. Во втором примере приводится сравнение расчетов по предложенному алгоритму с результатами работы [20].

Отметим, что для численного решения прямой задачи с заданным управлением использовался метод простой итерации для линеаризации задачи и ее решения методом конечных элементов. Решение сопряженной системы, которая является линейной при заданной температуре, не вызывает трудностей. Для численного моделирования использовался солвер FEniCS [31], [32].

Исходный код экспериментов можно найти по ссылке [33].

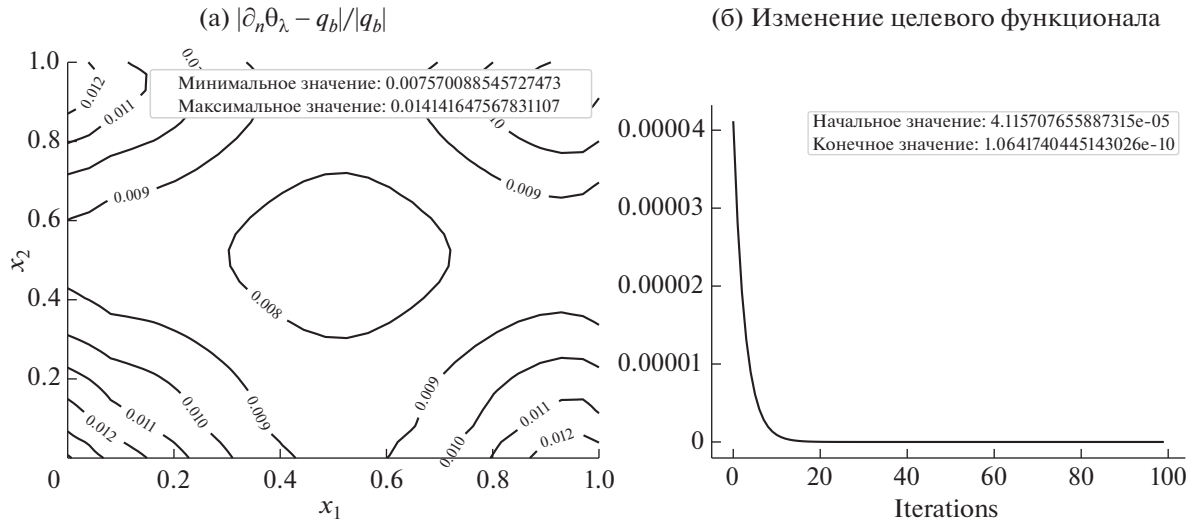
**Пример 1.** Рассмотрим куб  $\Omega = (x, y, z), 0 \leq x, y, z \leq l$ . Будем считать, что  $l = 1$  см,  $a = 0.006$  [см<sup>2</sup>/с],  $b = 0.025$  [см/с],  $\kappa_a = 1$  [см<sup>-1</sup>],  $\alpha = 0.3$  [см]. Указанные параметры соответствуют стеклу [11]. Параметр регуляризации  $\lambda = 10^{-12}$ .

Пусть граничные данные  $r$  и  $u$  в (2) имеют вид:

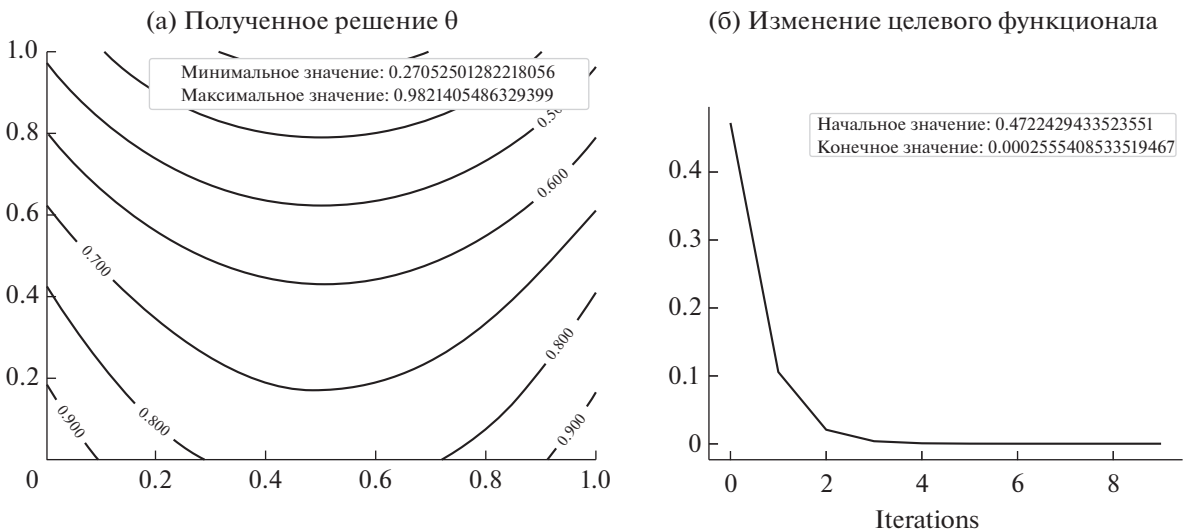
$$r = 0.7, \quad u = \hat{u} = 0.5.$$

Далее рассчитываем состояние  $\theta$  и  $\varphi$  как решение задачи (1), (2) и в качестве  $\theta_b$  выбираем граничные значения функции  $\theta$  на  $\Gamma$ . Значения нормальной производной  $\partial_n \theta$  на  $\Gamma$  должны соответствовать значениям  $q_b = r/a - \theta_b$ . Применяя предложенный алгоритм с начальным приближением  $u_0 = 0.1$ , находим приближенное решение  $\{\theta_\lambda, \varphi_\lambda, u_\lambda\}$  задачи (CP). Для демонстрации того, что алгоритм находит приближенное решение задачи с данными Коши для температуры, важно сравнить значения  $\partial_n \theta_\lambda$  на  $\Gamma$  с  $q_b$ .

На фиг. 1а, 1б представлены модуль относительного отклонения  $\partial_n \theta_\lambda$  от  $q_b$  на грани куба в плоскости  $z = l$ , где  $\partial_n \theta_\lambda = \partial \theta_\lambda / \partial z$  и динамика целевого функционала, определяющего норму разности  $\|\theta_\lambda - \theta_b\|_\Gamma^2$ . На остальных гранях куба значения относительного отклонения имеют тот же порядок малости.



Фиг. 1. Пример 1.



Фиг. 2. Пример 2.

**Пример 2.** Сравним работу предложенного алгоритма с результатами статьи [20], где соавтором был один из авторов данной работы. Задача рассматривается в области  $\Omega \times (-L, L)$ , где  $\Omega = \{x = (x_1, x_2) : 0 < x_{1,2} < d\}$  и при больших  $L$  сводится к двумерной задаче с вычислительной областью  $\Omega$ . Выбраны следующие значения параметров задачи:  $d = 1$  (м),  $a = 0.9210^{-4}$  ( $\text{m}^2/\text{s}$ ),  $b = 0.19$  (м/с),  $\alpha = 0.0333$  (м) и  $\kappa_a = 1$  ( $\text{m}^{-1}$ ). Параметры соответствуют воздуху при нормальном атмосферном давлении и температуре  $400^\circ\text{C}$ .

Функции  $\theta_b$ ,  $q_b$  в краевом условии (3) заданы следующим образом:  $\theta_b = \hat{\theta}|_{\Gamma}$ ,  $q_b = \partial_n \hat{\theta}|_{\Gamma}$ , где  $\hat{\theta} = (x_1 - 0.5)^2 - 0.5x_2 + 0.75$ .

Приближенное решение задачи с данными Коши, представленное в [20], получено путем решения эллиптической задачи четвертого порядка для температуры методом установления по времени. Использовались  $H^2$  конформные конечные элементы Богнера–Фокса–Шмитта и солвер FeliCs, разработанный в техническом университете Мюнхена. Решение стабилизировалось

через 120 с, но вычисления на каждом временном шаге потребовали довольно значительных затрат [20].

На фиг. 2а представлено температурное поле, полученное предложенным в данной статье методом, достаточно точно совпадающее с результатом в [20]. Величина  $\|\partial_n \theta_\lambda - q_b\|_{L^2(\Gamma)} / \|q_b\|_{L^2(\Gamma)}$  равна 0.000567. Значение целевого функционала, определяющего норму разности  $\|\theta_\lambda - \theta_b\|_\Gamma^2$ , равно 0.000255 и стабилизируется после 10 итераций, как показано на фиг. 2б.

Представленные численные примеры демонстрируют, что предложенный алгоритм успешно справляется с нахождением численного решения задачи (1)–(3).

## СПИСОК ЛИТЕРАТУРЫ

1. *Pinnau R.* Analysis of optimal boundary control for radiative heat transfer modeled by  $SP_1$ -system // *Commun. Math. Sci.* 2007. V. 5. № 4. P. 951–969.
2. *Kovtanyuk A.E., Chebotarev A.Yu.* An iterative method for solving a complex heat transfer problem // *Appl. Math. Comput.* 2013. V. 219. № 17. P. 9356–9362.
3. *Kovtanyuk A.E., Chebotarev A.Yu., Botkin N.D., Hoffmann K.-H.* The unique solvability of a complex 3D heat transfer problem // *J. Math. Anal. Appl.* 2014. V. 409. № 2. P. 808–815.
4. *Ковтаныук А.Е., Чеботарев А.Ю.* Стационарная задача сложного теплообмена // *Ж. вычисл. матем. и матем. физ.* 2014. Т. 54. № 4. С. 711–719.
5. *Ковтаныук А.Е., Чеботарев А.Ю.* Стационарная задача свободной конвекции с радиационным теплообменом // *Дифференц. ур-ния.* 2014. Т. 50. № 12. С. 1590–1597.
6. *Kovtanyuk A.E., Chebotarev A.Yu., Botkin N.D., Hoffmann K.-H.* Theoretical analysis of an optimal control problem of conductive-convective-radiative heat transfer // *J. Math. Anal. Appl.* 2014. V. 412. № 1. P. 520–528.
7. *Гренкин Г.В., Чеботарев А.Ю.* Нестационарная задача сложного теплообмена // *Ж. вычисл. матем. и матем. физ.* 2014. Т. 54. № 11. С. 1806–1816.
8. *Kovtanyuk A.E., Chebotarev A.Yu., Botkin N.D., Hoffmann K.-H.* Unique solvability of a steady-state complex heat transfer model // *Commun. Nonlinear Sci. Numer. Simul.* 2015. V. 20. № 3. P. 776–784.
9. *Гренкин Г.В., Чеботарев А.Ю.* Неоднородная нестационарная задача сложного теплообмена // *Сиб. электрон. матем. изв.* 2015. Т. 12. С. 562–576.
10. *Гренкин Г.В., Чеботарев А.Ю.* Нестационарная задача свободной конвекции с радиационным теплообменом // *Ж. вычисл. матем. и матем. физ.* 2016. Т. 56. № 2. С. 275–282.
11. *Grenkin G.V., Chebotarev A.Yu., Kovtanyuk A.E., Botkin N.D., Hoffmann K.-H.* Boundary optimal control problem of complex heat transfer model // *J. Math. Anal. Appl.* 2016. V. 433. № 2. P. 1243–1260.
12. *Kovtanyuk A.E., Chebotarev A.Yu., Botkin N.D., Hoffmann K.-H.* Optimal boundary control of a steady-state heat transfer model accounting for radiative effects // *J. Math. Anal. Appl.* 2016. V. 439. № 2. P. 678–689.
13. *Chebotarev A.Yu., Kovtanyuk A.E., Grenkin G.V., Botkin N.D., Hoffmann K.-H.* Nondegeneracy of optimality conditions in control problems for a radiative-conductive heat transfer model // *Appl. Math. Comput.* 2016. V. 289. P. 371–380.
14. *Ковтаныук А.Е., Чеботарев А.Ю.* Нелокальная однозначная разрешимость стационарной задачи сложного теплообмена // *Ж. вычисл. матем. и матем. физ.* 2016. Т. 56. № 5. С. 816–823.
15. *Chebotarev A.Yu., Grenkin G.V., Kovtanyuk A.E.* Inhomogeneous steady-state problem of complex heat transfer // *ESAIM Math. Model. Numer. Anal.* 2017. V. 51. № 6. P. 2511–2519.
16. *Chebotarev A.Y., Grenkin G.V., Kovtanyuk A.E., Botkin N.D., Hoffmann K.-H.* Diffusion approximation of the radiative-conductive heat transfer model with Fresnel matching conditions // *Communications in Nonlinear Science and Numerical Simulation.* 57 (2018). 290–298.
17. *Chebotarev A.Yu., Grenkin G.V., Kovtanyuk A.E., Botkin N.D., Hoffmann K.-H.* Inverse problem with finite overdetermination for steady-state equations of radiative heat exchange // *J. Math. Anal. Appl.* 2018. V. 460. № 2. P. 737–744.
18. *Chebotarev A.Yu., Pinnau R.* An inverse problem for a quasi-static approximate model of radiative heat transfer // *J. Math. Anal. Appl.* 2019. V. 472. № 1. P. 314–327.
19. *Гренкин Г.В., Чеботарев А.Ю.* Обратная задача для уравнений сложного теплообмена // *Ж. вычисл. матем. и матем. физ.* 2019. Т. 59. № 8. С. 1420–1430.
20. *Chebotarev A.Y., Kovtanyuk A.E., Botkin N.D.* Problem of radiation heat exchange with boundary conditions of the Cauchy type // *Communications in Nonlinear Science and Numerical Simulation.* 75 (2019) 262–269.
21. *Колобов А.Г., Пак Т.В., Чеботарев А.Ю.* Стационарная задача радиационного теплообмена с граничными условиями типа Коши // *Ж. вычисл. матем. и матем. физ.* 2019. Т. 59. № 7. С. 1258–1263.
22. *Амосов А.А.* Глобальная разрешимость одной нелинейной нестационарной задачи с нелокальным краевым условием типа теплообмена излучением // *Дифференц. ур-ния.* Т. 41. № 1. 2005. С. 93–104.

23. *Amosov A.A.* Stationary nonlinear nonlocal problem of radiative-conductive heat transfer in a system of opaque bodies with properties depending on the radiation frequency // *J. Math. Sc.* 2010. V. 164. № 3. P. 309–344.
24. *Amosov A.* Unique Solvability of a Nonstationary Problem of Radiative - Conductive Heat Exchange in a System of Semitransparent Bodies // *Russian J. of Math. Phys.* 2016. V. 23. № 3. P. 309–334.
25. *Amosov A.A.* Unique Solvability of Stationary Radiative – Conductive Heat Transfer Problem in a System of Semitransparent Bodies // *J. of Math. Sc. (United States)*. 2017. V. 224. № 5. P. 618–646.
26. *Amosov A.A.* Asymptotic Behavior of a Solution to the Radiative Transfer Equation in a Multilayered Medium with Diffuse Reflection and Refraction Conditions // *J. of Math. Sc. (United States)*. 2020. V. 244. P. 541–575.
27. *Amosov A.A., Krymov N.E.* On a Nonstandard Boundary Value Problem Arising in Homogenization of Complex Heat Transfer Problems // *J. of Math. Sc. (United States)*. 2020. V. 244. P. 357–377.
28. *Fučik S., Kufner A.* Nonlinear differential equations, New York: Elsevier, 1980.
29. *Fursikov A.V.* Optimal Control of Distributed Systems. Theory and Applications, American Math. Soc., 2000.
30. *Ioffe A.D., Tikhomirov V.M.* Theory of Extremal Problems, Amsterdam, North-Holland, 1979.
31. *Alnaes M.S., Blechta J., Hake J., Johansson A., Kehlet B., Logg A., Richardson C., Ring J., Rognes M.E., Wells G.N.* The FEniCS Project Version 1.5 Archive of Numerical Software, vol. 3, 2015.
32. *Logg A., Wells G.N.* DOLFIN: Automated Finite Element Computing *ACM Transactions on Mathematical Software*, vol. 37, 2010
33. [https://github.com/mesenev/articles\\_src](https://github.com/mesenev/articles_src)